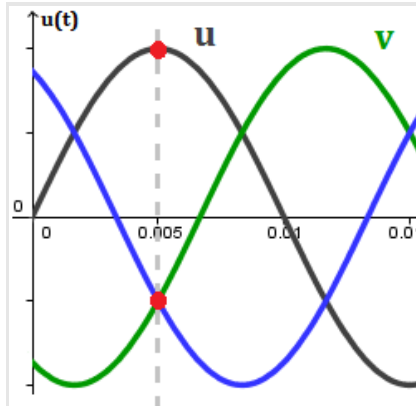


**AC**

**3-FASET**

**SYMMETRISK  
BELASTNING**

- Én definition
- Stjernekoblede symmetriske belastninger
- Trekantskoblede symmetriske belastninger



KELD DYRMOSE



**aams**

Aarhus Maskinmesterskole  
Aarhus School of Marine and Technical Engineering

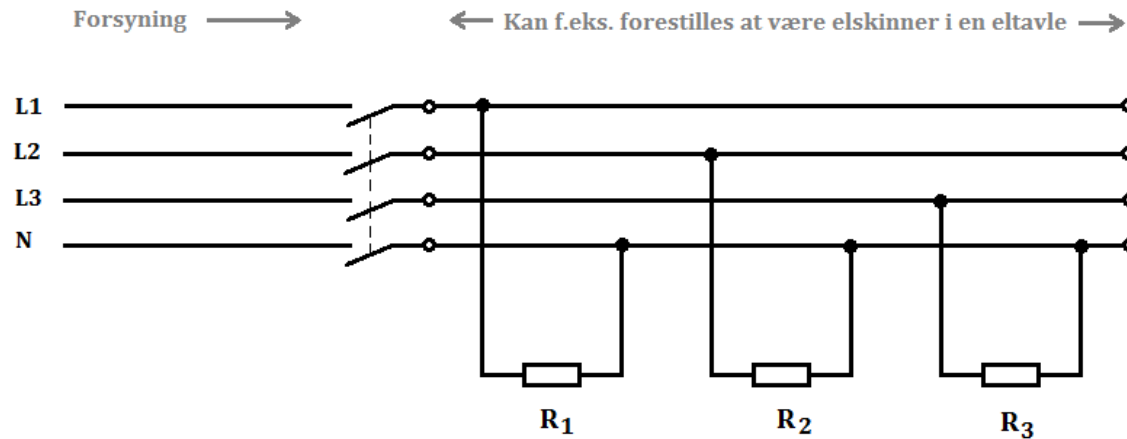
# **AC 3 faset symmetrisk belastning**

**Én definition af betingelser for symmetri:**

- Netstrømmene er lige store i de 3 faser
- Netstrømmene har samme faseforskydningsvinkel

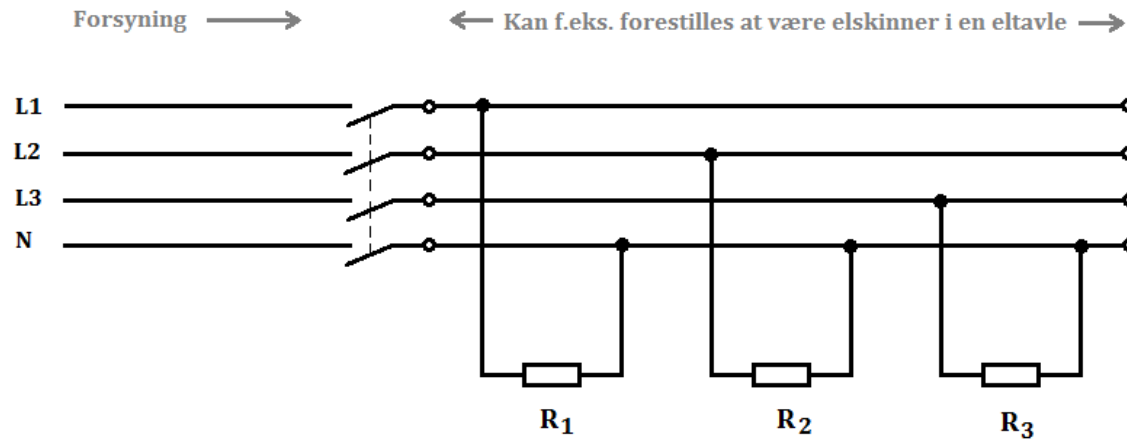
# AC 3 faset symmetrisk belastning

Et fuldstreges kredsskema over stjernekoblet symmetrisk belastning:



# AC 3 faset symmetrisk belastning

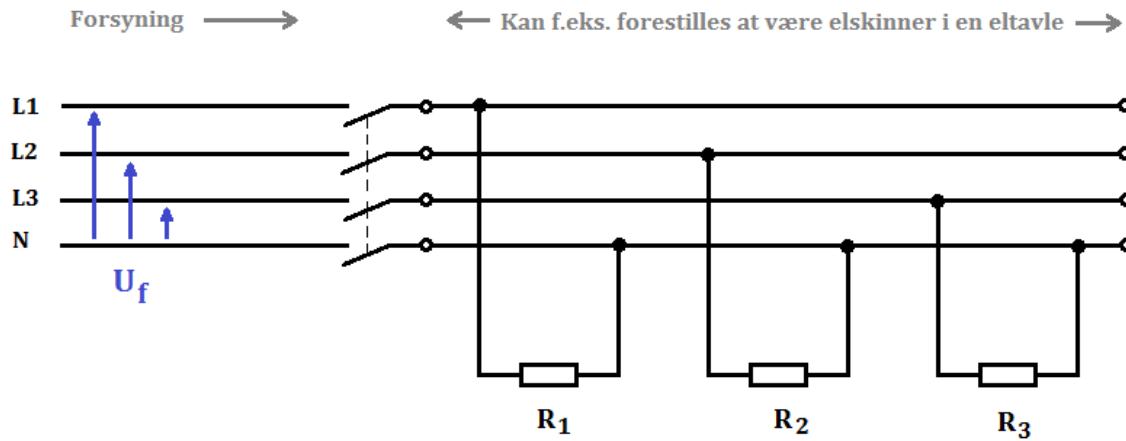
Et fuldstreges kredsskema over stjernekoblet symmetrisk belastning:



Lad os antage følgende om kredsen:

# AC 3 faset symmetrisk belastning

Et fuldstreges kredsskema over stjernekoblet symmetrisk belastning:

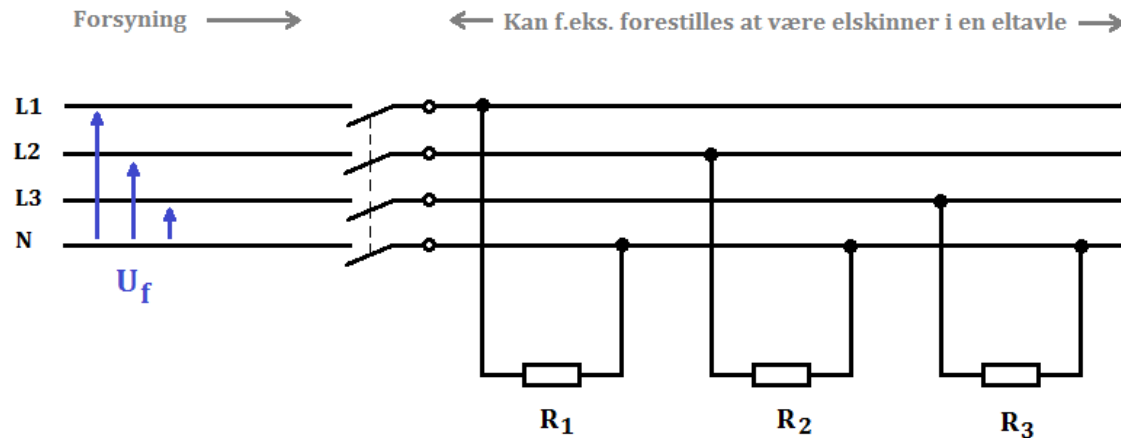


Lad os antage følgende om kredsen:

$$U_f = 231 \text{ V}$$

# AC 3 faset symmetrisk belastning

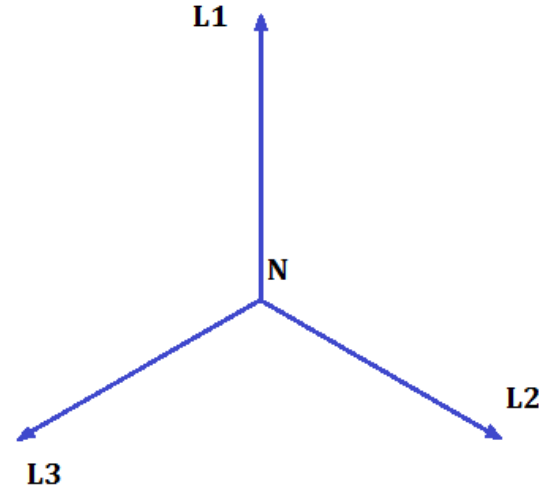
Et fuldstreges kredsskema over stjernekoblet symmetrisk belastning:



Vektordiagram:

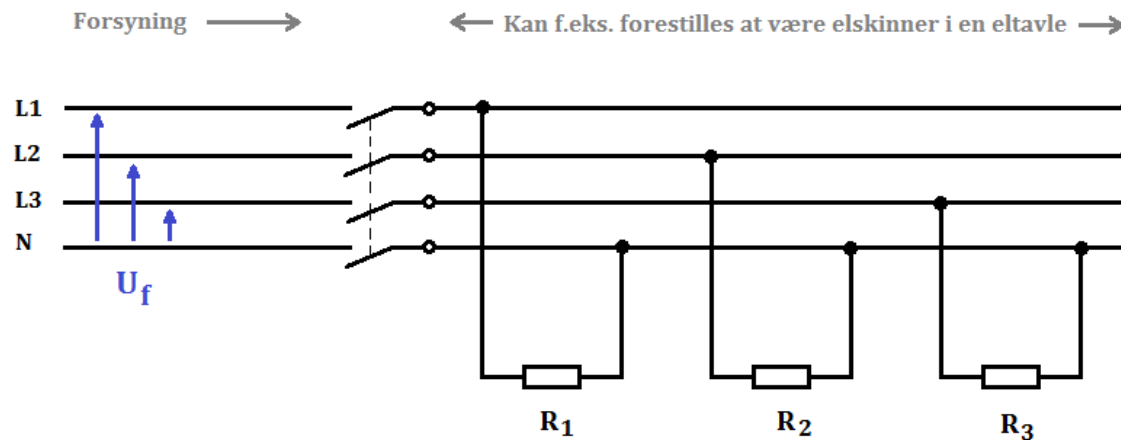
Lad os antage følgende om kredsen:

$$U_f = 231 V$$



# AC 3 faset symmetrisk belastning

Et fuldstreges kredsskema over stjernekoblet symmetrisk belastning:

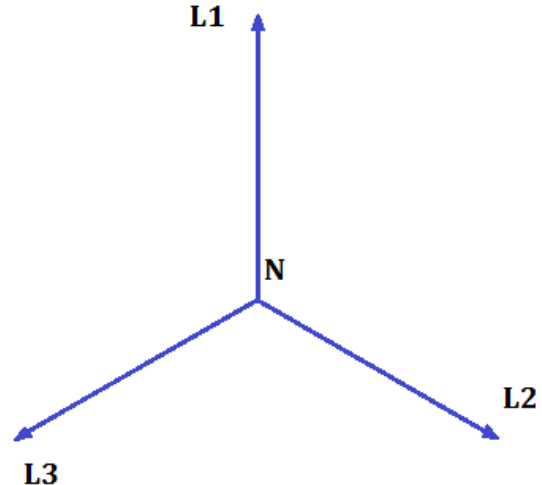


Vektordiagram:

Lad os antage følgende om kredsen:

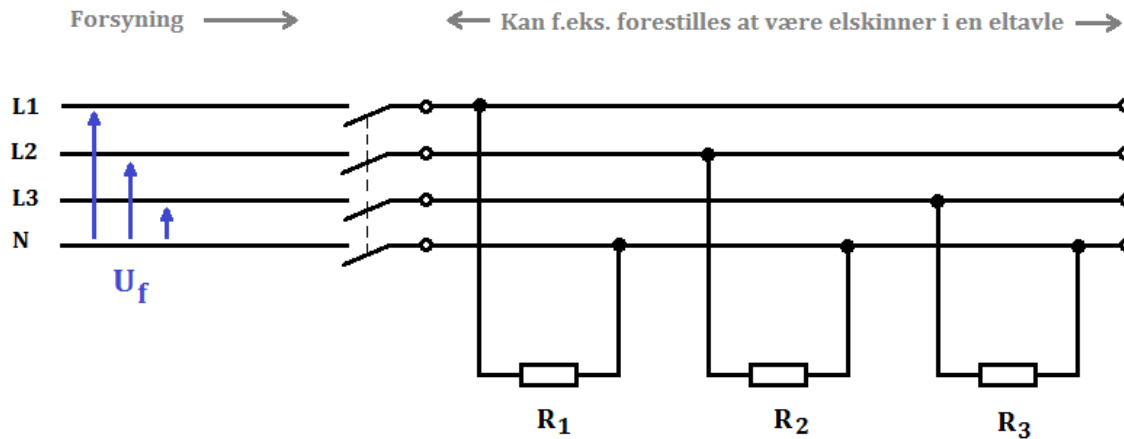
$$U_f = 231 V$$

$$R_1 = R_2 = R_3 = 33 \Omega$$



# AC 3 faset symmetrisk belastning

Et fuldstreges kredsskema over stjernekoblet symmetrisk belastning:



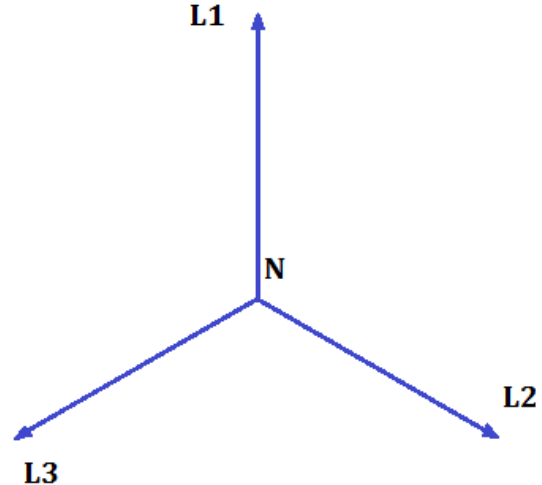
Vektordiagram:

Lad os antage følgende om kredsen:

$$U_f = 231 V$$

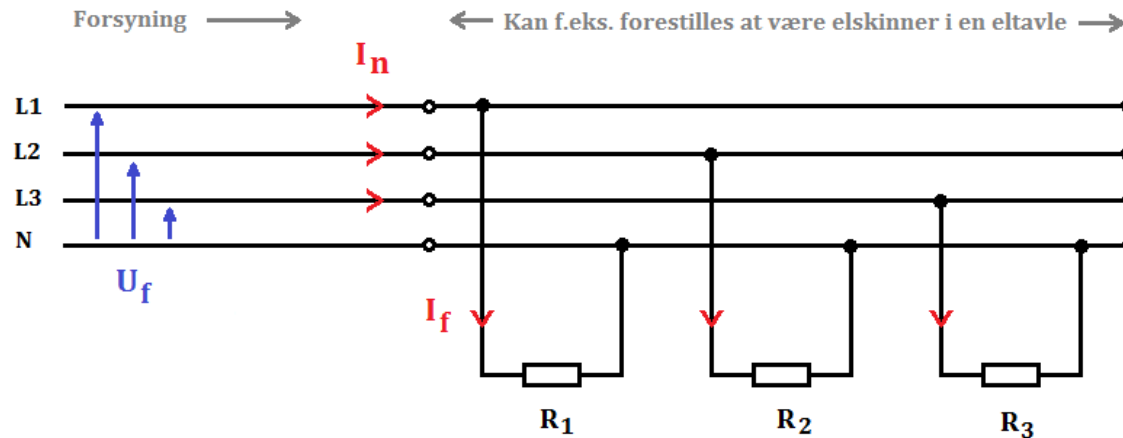
$$R_1 = R_2 = R_3 = 33 \Omega$$

Kontakten sluttet



# AC 3 faset symmetrisk belastning

Et fuldstregts kredsskema over stjernekoblet symmetrisk belastning:

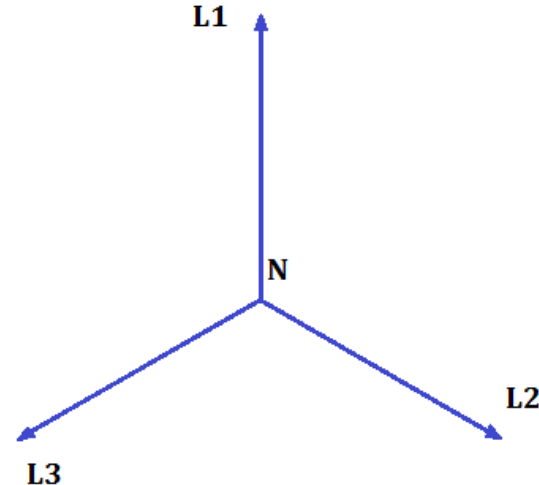


$$U_f = 231 V$$
$$R_1 = R_2 = R_3 = 33 \Omega$$

Vektordiagram:

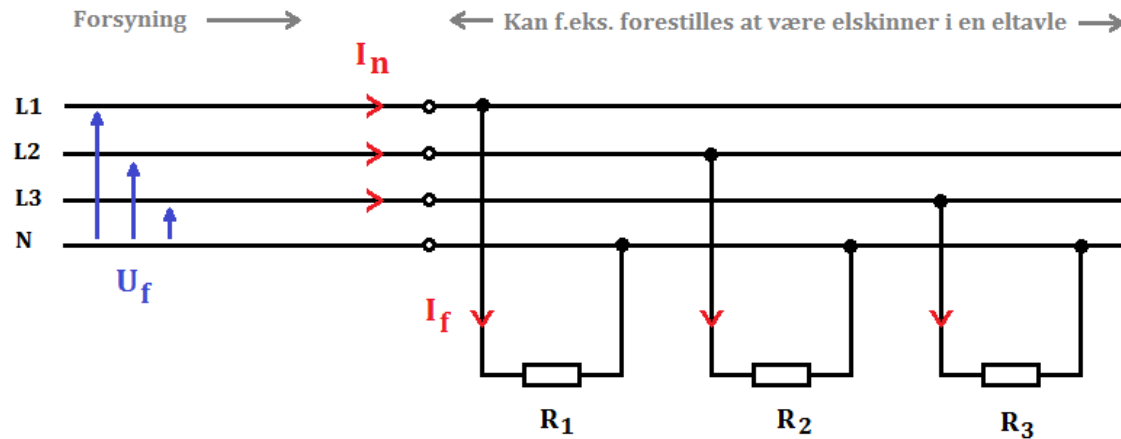
Fasestrømmen:

$$I_f = \frac{U_f}{R} \Rightarrow$$



# AC 3 faset symmetrisk belastning

Et fuldstregts kredsskema over stjernekoblet symmetrisk belastning:

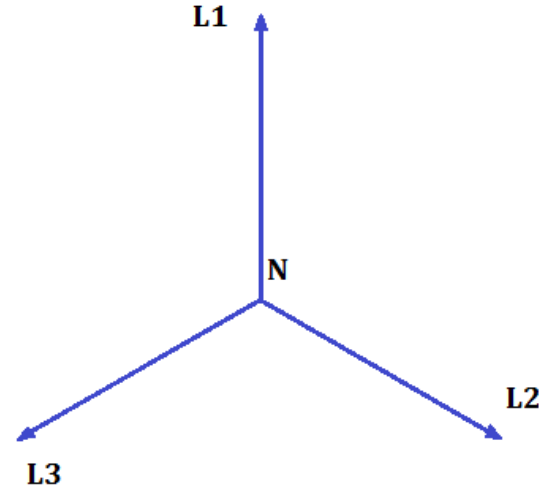


$$U_f = 231 \text{ V}$$
$$R_1 = R_2 = R_3 = 33 \Omega$$

Vektordiagram:

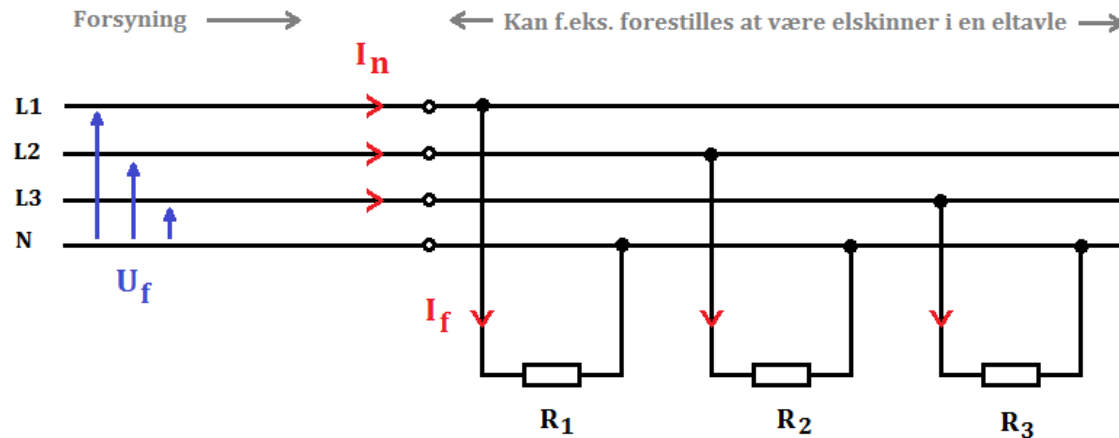
Fasestrømmen:

$$I_f = \frac{U_f}{R} \Rightarrow I_f = \frac{231}{33} = 7 \text{ A}$$



# AC 3 faset symmetrisk belastning

Et fuldstregts kredsskema over stjernekoblet symmetrisk belastning:



$$U_f = 231 \text{ V}$$
$$R_1 = R_2 = R_3 = 33 \Omega$$

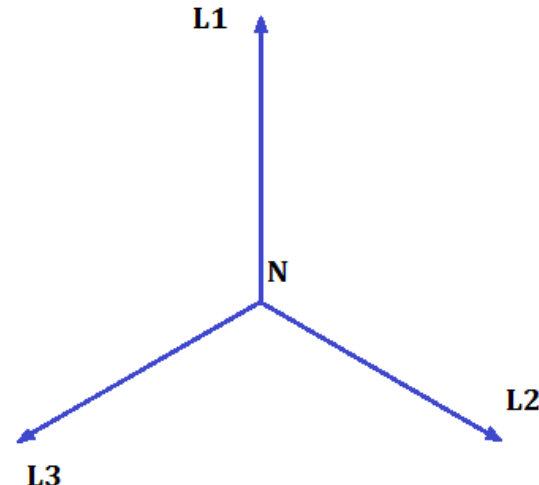
Vektordiagram:

Fasestrømmen:

$$I_f = \frac{U_f}{R} \Rightarrow I_f = \frac{231}{33} = 7 \text{ A}$$

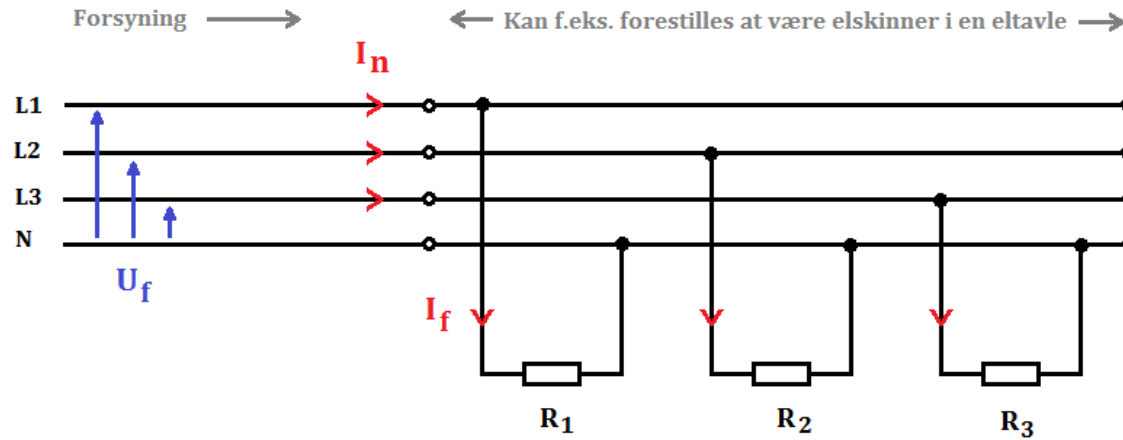
Netstrømmen:

Ved stjerne forbundne  
symmetriske belastninger er  $I_f = I_n$



# AC 3 faset symmetrisk belastning

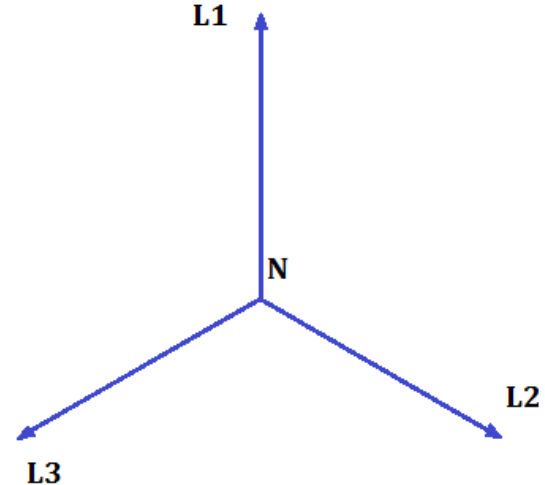
Et fuldstregts kredsskema over stjernekoblet symmetrisk belastning:



$$U_f = 231 V$$
$$R_1 = R_2 = R_3 = 33 \Omega$$
$$I_f = I_n = 7 A$$

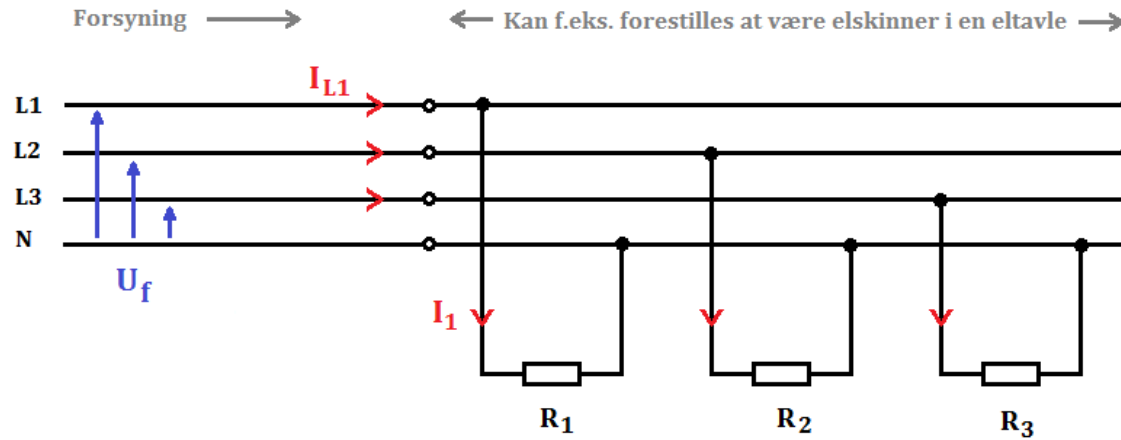
Vektordiagram:

Lad os indeksere strømmene og  
tegne dem ind i vektordiagrammet  
én fase ad gangen:



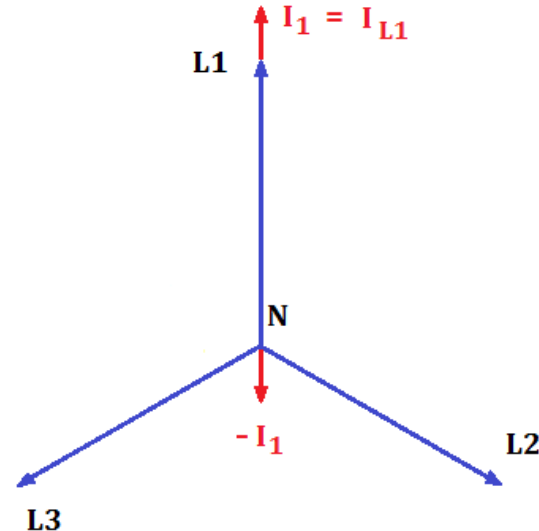
# AC 3 faset symmetrisk belastning

Et fuldstreges kredsskema over stjernekoblet symmetrisk belastning:



$$U_f = 231 \text{ V}$$
$$R_1 = R_2 = R_3 = 33 \Omega$$
$$I_f = I_n = 7 \text{ A}$$

Vektordiagram:

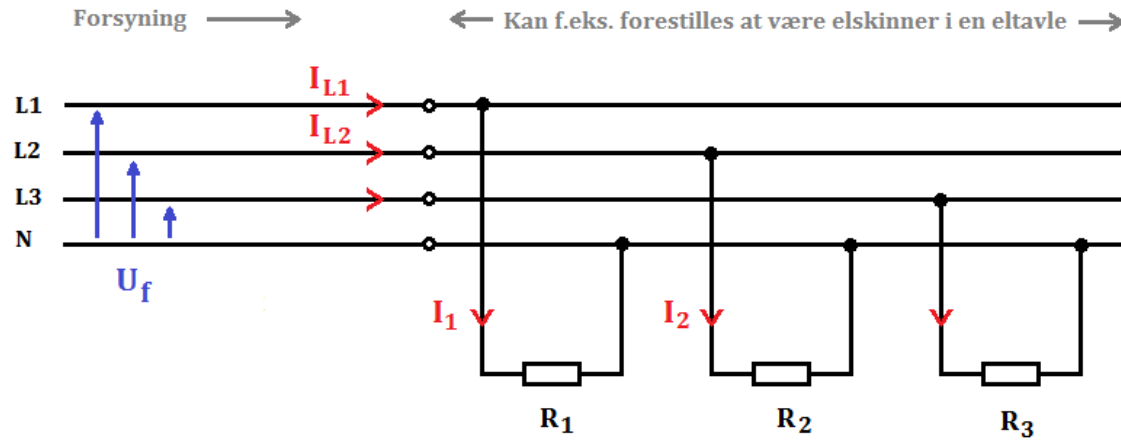


Lad os indeksere strømmene og  
tegne dem ind i vektordiagrammet  
én fase ad gangen:

Tilsyneladende løber der en strøm i nullederen,  
men det skal vise sig at der faktisk ikke gør!

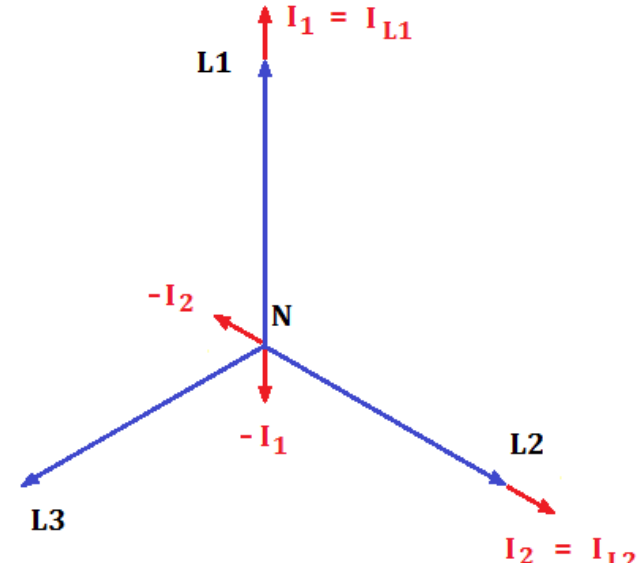
# AC 3 faset symmetrisk belastning

Et fuldstreges kredsskema over stjernekoblet symmetrisk belastning:



$$U_f = 231 V$$
$$R_1 = R_2 = R_3 = 33 \Omega$$
$$I_f = I_n = 7 A$$

Vektordiagram:

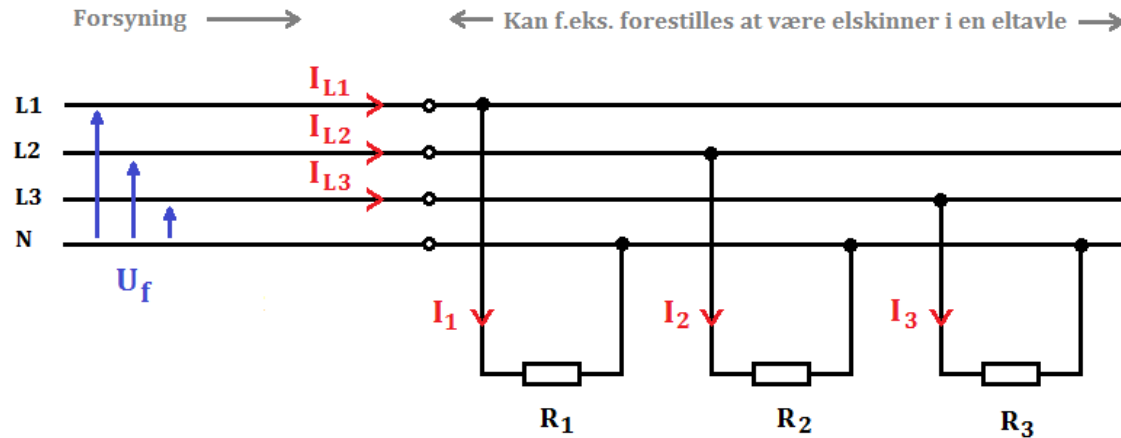


Lad os indeksere strømmene og  
tegne dem ind i vektordiagrammet  
én fase ad gangen:

Tilsyneladende løber der en strøm i nullederen,  
men det skal vise sig at der faktisk ikke gør!

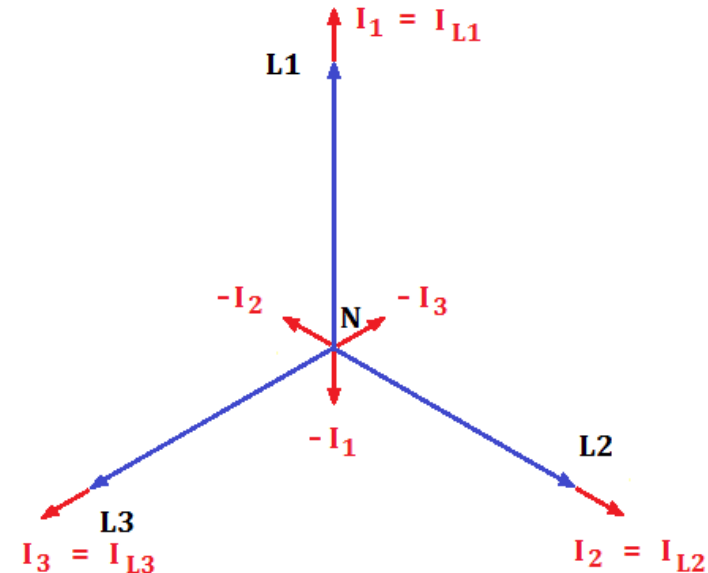
# AC 3 faset symmetrisk belastning

Et fuldstreges kredsskema over stjernekoblet symmetrisk belastning:



$$U_f = 231 V$$
$$R_1 = R_2 = R_3 = 33 \Omega$$
$$I_f = I_n = 7 A$$

Vektordiagram:

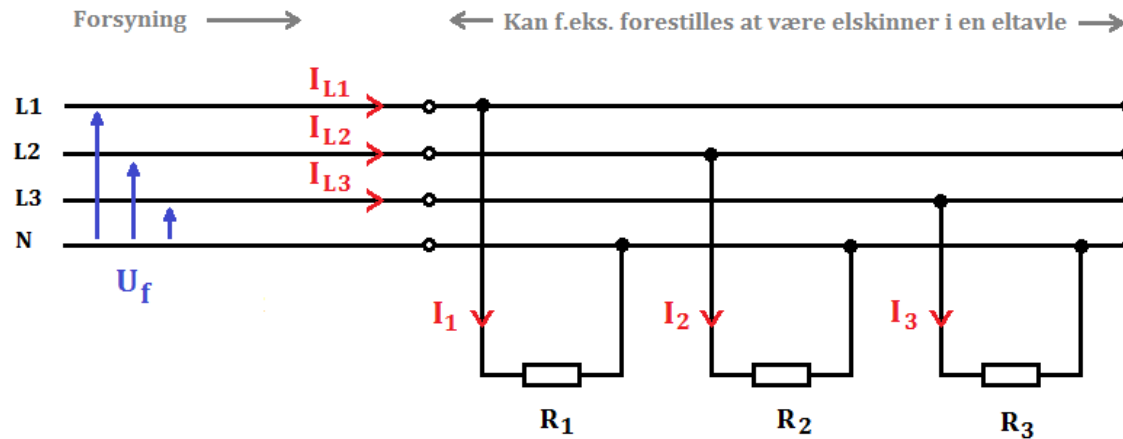


Lad os indeksere strømmene og tegne dem ind i vektordiagrammet én fase ad gangen:

Som det ses er den vektorielle sum af strømmene i nulederen = 0 A (ved symmetrisk belastninger)

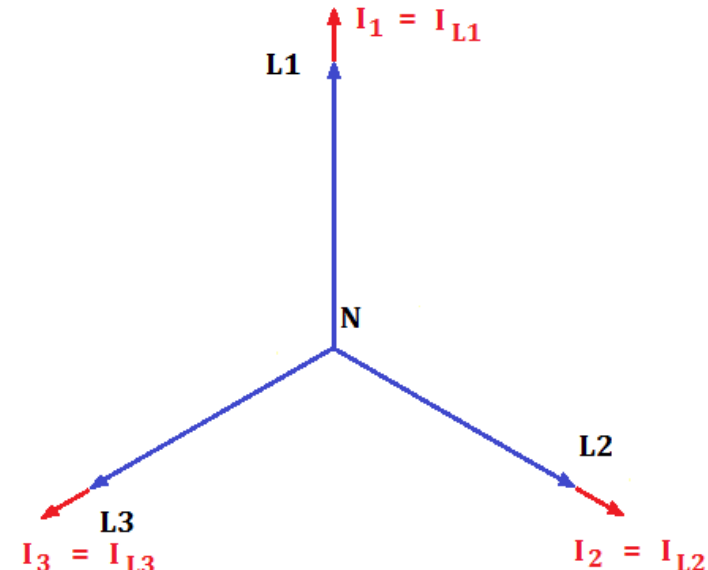
# AC 3 faset symmetrisk belastning

Et fuldstreges kredsskema over stjernekoblet symmetrisk belastning:



$$U_f = 231 V$$
$$R_1 = R_2 = R_3 = 33 \Omega$$
$$I_f = I_n = 7 A$$

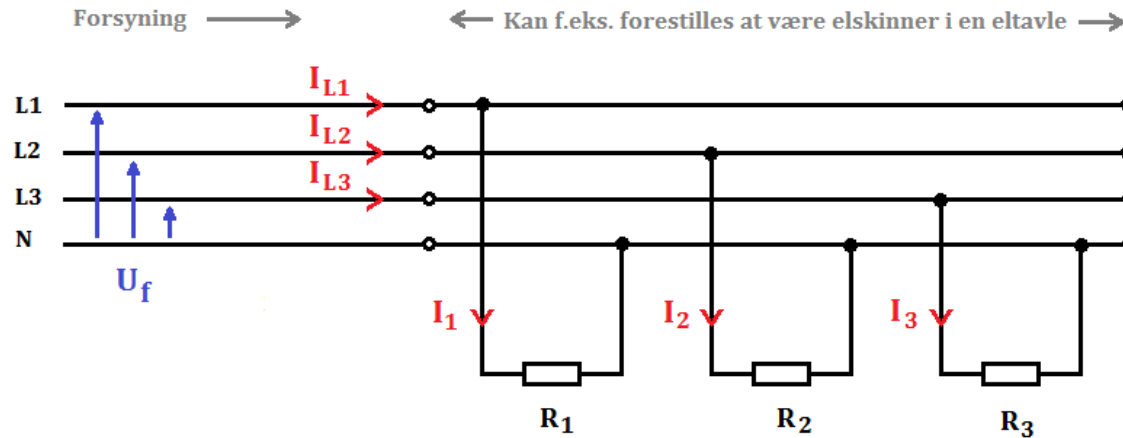
Vektordiagram:



Som det ses er den vektorielle sum af strømmene i nulederen = 0 A (ved symmetrisk belastninger) og vektordiagrammet kan derfor blot tegnes som:

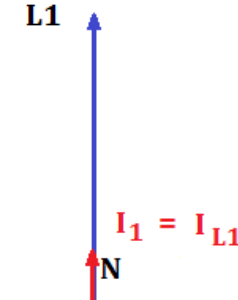
# AC 3 faset symmetrisk belastning

Et fuldstreges kredsskema over stjernekoblet symmetrisk belastning:



$$\begin{aligned} U_f &= 231 \text{ V} \\ R_1 &= R_2 = R_3 = 33 \Omega \\ I_f &= I_n = 7 \text{ A} \end{aligned}$$

Vektordiagram:

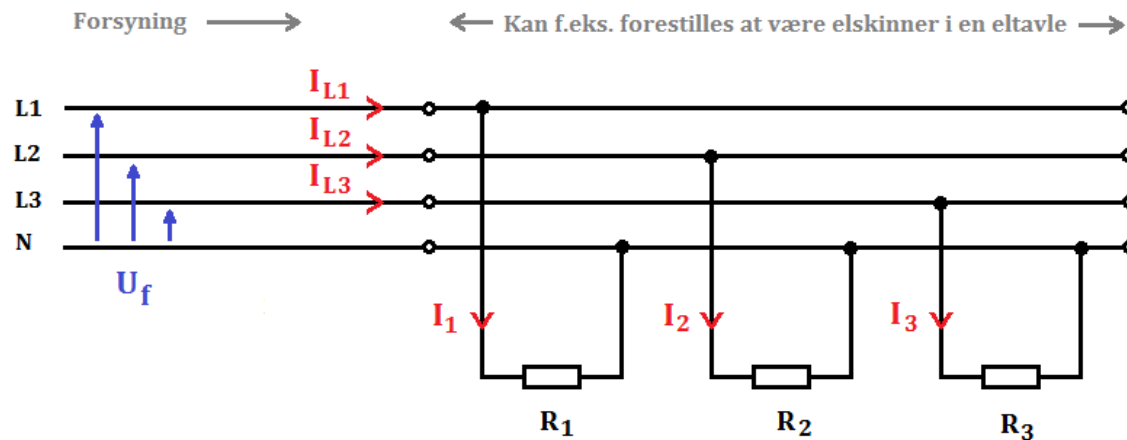


Da det trefasede vektordiagram jo netop er symmetrisk ved trefasede symmetriske belastninger, må man gerne blot tegne vektordiagrammet for én enkelt fase, f.eks.:

Strømvektoren flyttes traditionelt ned i bunden af spændingsvektoren, når man overgår til blot at tegne 1 fase i stedet for 3

# AC 3 faset symmetrisk belastning

Et fuldstreges kredsskema over stjernekoblet symmetrisk belastning:



$$U_f = 231 V$$
$$R_1 = R_2 = R_3 = 33 \Omega$$
$$I_f = I_n = 7 A$$

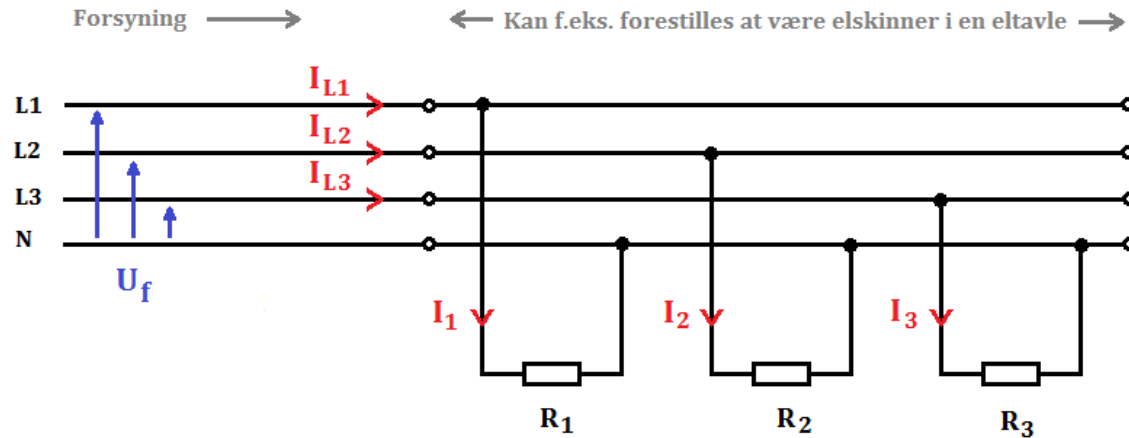
Vektordiagram:



Man vil endvidere typisk ikke indeksere  
specifikt, da vektordiagrammet ene  
fasevisning nu gælder alle faser:

# AC 3 faset symmetrisk belastning

Et fuldstreges kredsskema over stjernekoblet symmetrisk belastning:



$$U_f = 231 V$$
$$R_1 = R_2 = R_3 = 33 \Omega$$
$$I_f = I_n = 7 A$$

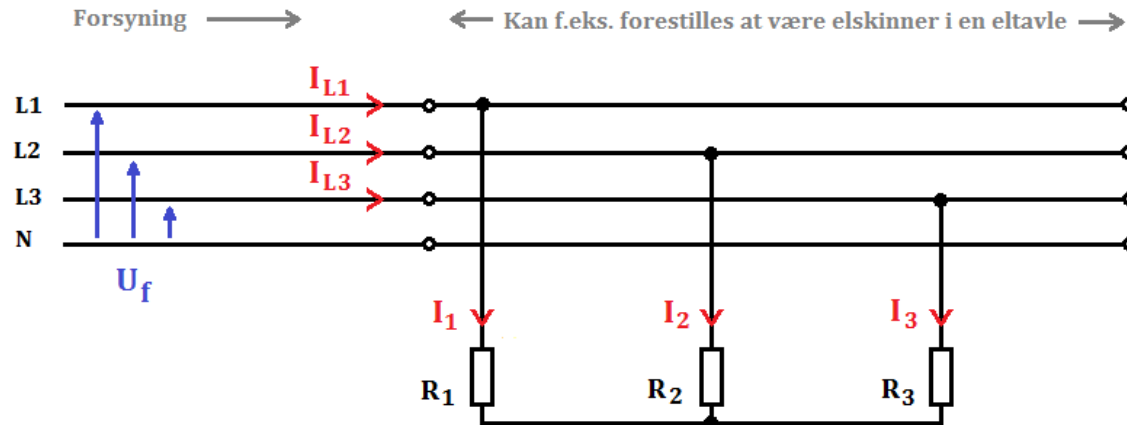
Vektordiagram:



Kredsskemaet kan evt. også ændres idet der jo alligevel ikke løber nogen strøm i nullederen, kan man blot samle de tre punkter der er koblet til nullederskinne i et punkt - et stjernepunkt

# AC 3 faset symmetrisk belastning

Et fuldstreges kredsskema over stjernekoblet symmetrisk belastning:



$$U_f = 231 V$$
$$R_1 = R_2 = R_3 = 33 \Omega$$
$$I_f = I_n = 7 A$$

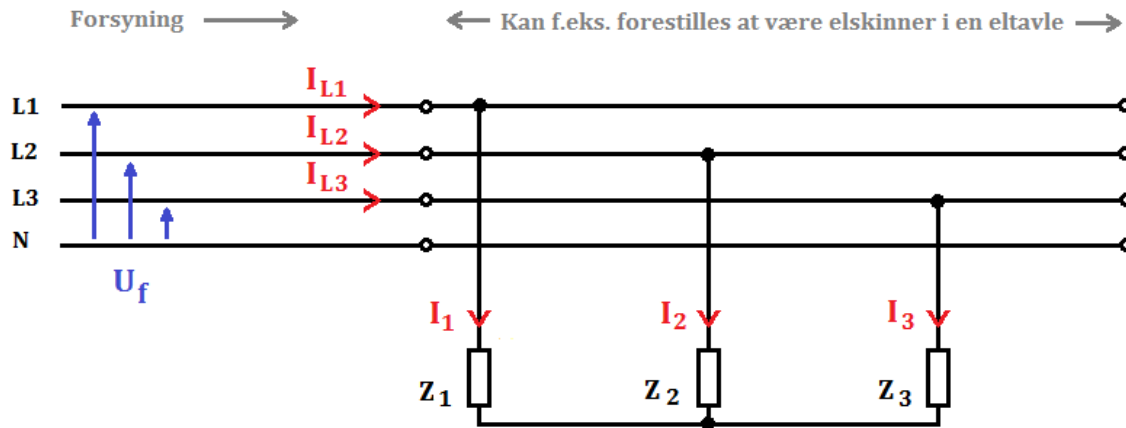
Vektordiagram:



Kredsskemaet kan evt. også ændres idet der jo alligevel ikke løber nogen strøm i nullederen, kan man blot samle de tre punkter der er koblet til nullederskinne i et punkt - et stjernepunkt

# AC 3 faset symmetrisk belastning

Et fuldstreges kredsskema over stjernekoblet symmetrisk belastning:



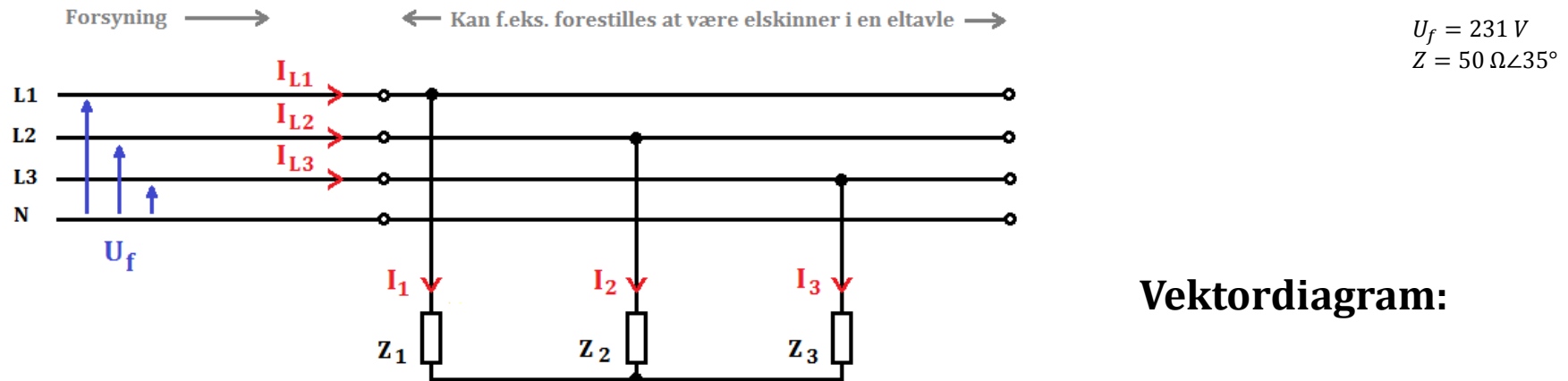
Vektordiagram:

I stedet for en resistiv belastning  $R$ , indsætter vi nu  
3 impedanser med værdierne:

$$Z_1 = Z_2 = Z_3 = 50 \Omega \angle 35^\circ \text{ induktiv}$$

# AC 3 faset symmetrisk belastning

Et fuldstreges kredsskema over stjernekoblet symmetrisk belastning:

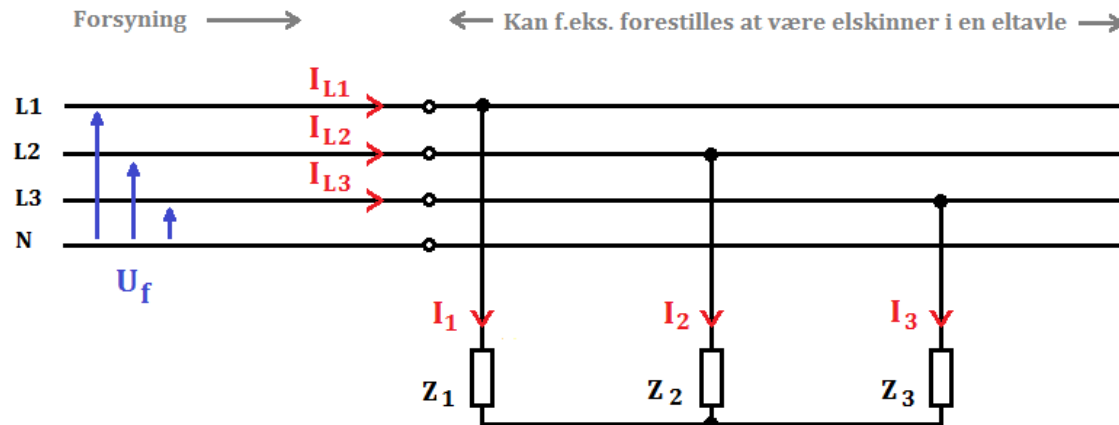


Strømmen er nu:

$$I_n = I_f = \frac{U_f}{Z} \Rightarrow I = \frac{231}{50} = 4,62 A$$

# AC 3 faset symmetrisk belastning

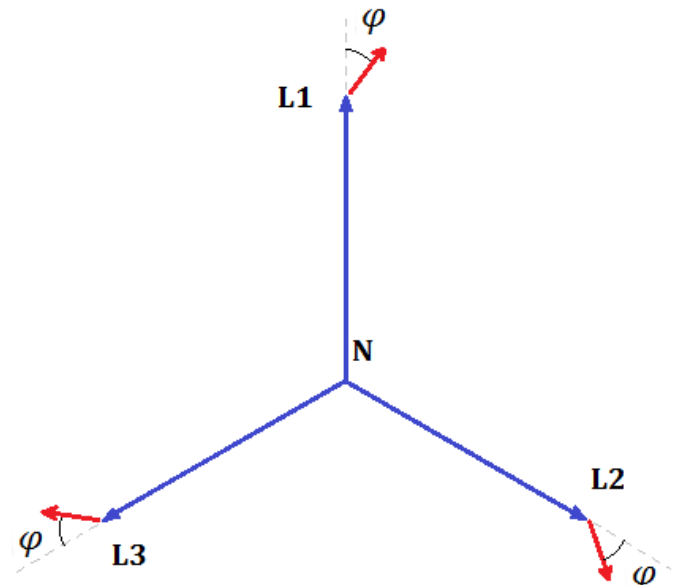
Et fuldstregts kredsskema over stjernekoblet symmetrisk belastning:



$$U_f = 231 \text{ V}$$
$$Z = 50 \Omega \angle 35^\circ$$

Skriv ligningen her.

Vektordiagram:



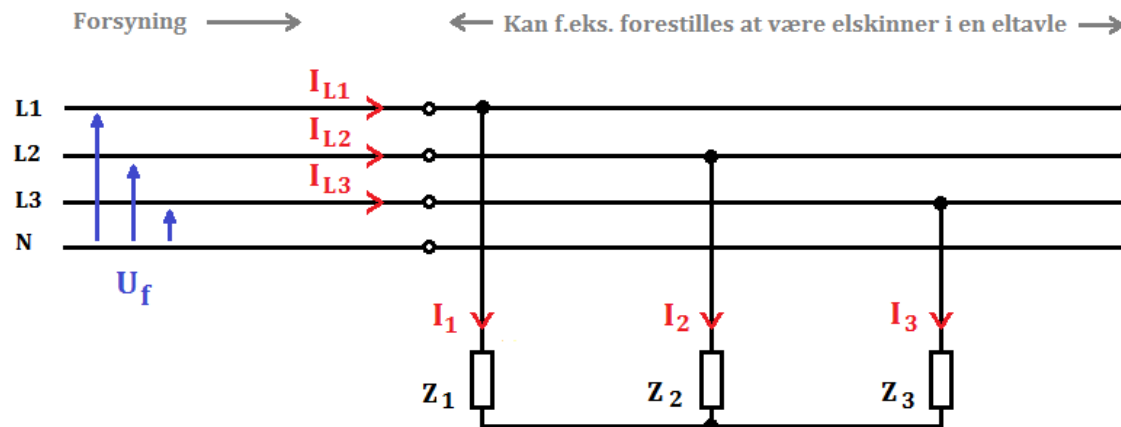
Strømmen er nu:

$$I_n = I_f = \frac{U_f}{Z} \Rightarrow I = \frac{231}{50} = 4,62 \text{ A}$$

og vektorerne..

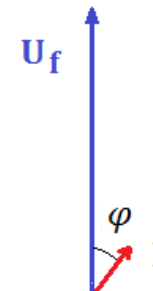
# AC 3 faset symmetrisk belastning

Et fuldstregts kredsskema over stjernekoblet symmetrisk belastning:



$$U_f = 231 \text{ V}$$
$$Z = 50 \Omega \angle 35^\circ$$

Vektordiagram:



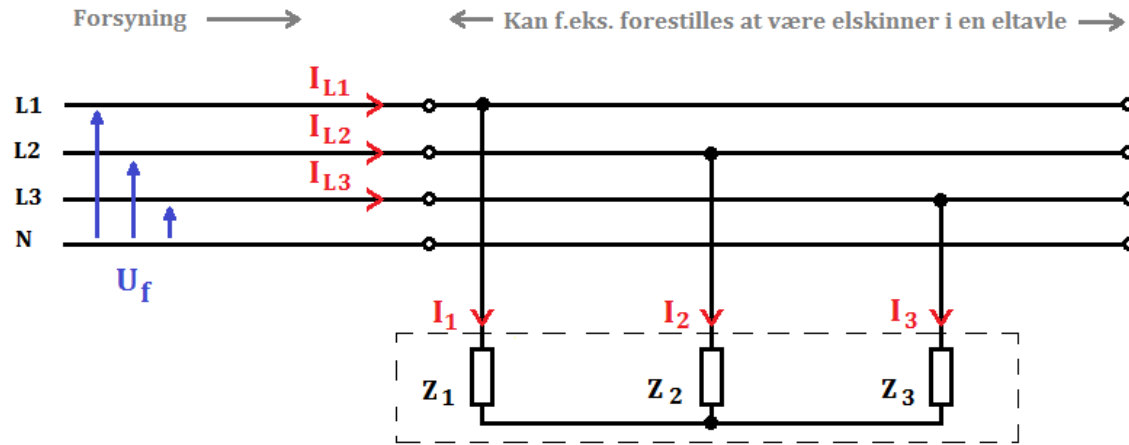
Strømmen er nu:

$$I_n = I_f = \frac{U_f}{Z} \quad \Rightarrow \quad I = \frac{231}{50} = 4,62 \text{ A}$$

og vektorerne.. Som også kan illustreres tilfredsstillende med en enkelt fase vist:

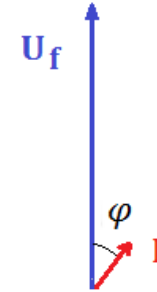
# AC 3 faset symmetrisk belastning

Et fuldstreges kredsskema over stjernekoblet symmetrisk belastning:



$$U_f = 231 V$$
$$Z = 50 \Omega \angle 35^\circ$$
$$I = 4,62 A$$

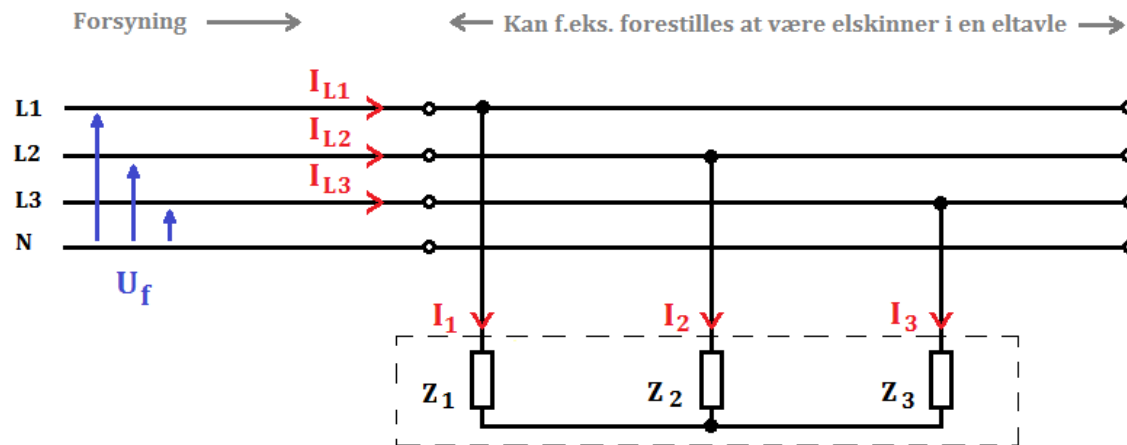
Vektordiagram:



Hvis vi nu betragtede de 3 impedanser som én samlet 3-faset symmetrisk belastning, så kunne man spørge hvilken effekt (S, P og Q) der afsættes i denne belastning!

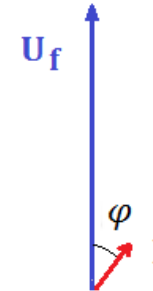
# AC 3 faset symmetrisk belastning

Et fuldstreges kredsskema over stjernekoblet symmetrisk belastning:



$$U_f = 231 \text{ V}$$
$$Z = 50 \Omega \angle 35^\circ$$
$$I = 4,62 \text{ A}$$

Vektordiagram:

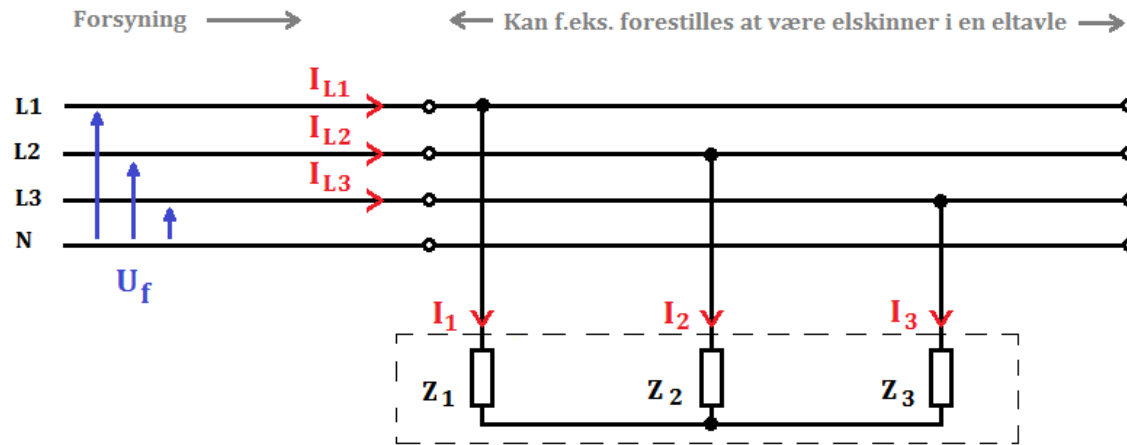


Den tilsyneladende effekt (S):

$$S = 3 \cdot U_f \cdot I_f \quad \Leftrightarrow$$

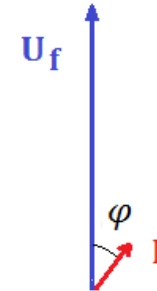
# AC 3 faset symmetrisk belastning

Et fuldstreges kredsskema over stjernekoblet symmetrisk belastning:



$$U_f = 231 \text{ V}$$
$$Z = 50 \Omega \angle 35^\circ$$
$$I = 4,62 \text{ A}$$

Vektor-diagram:

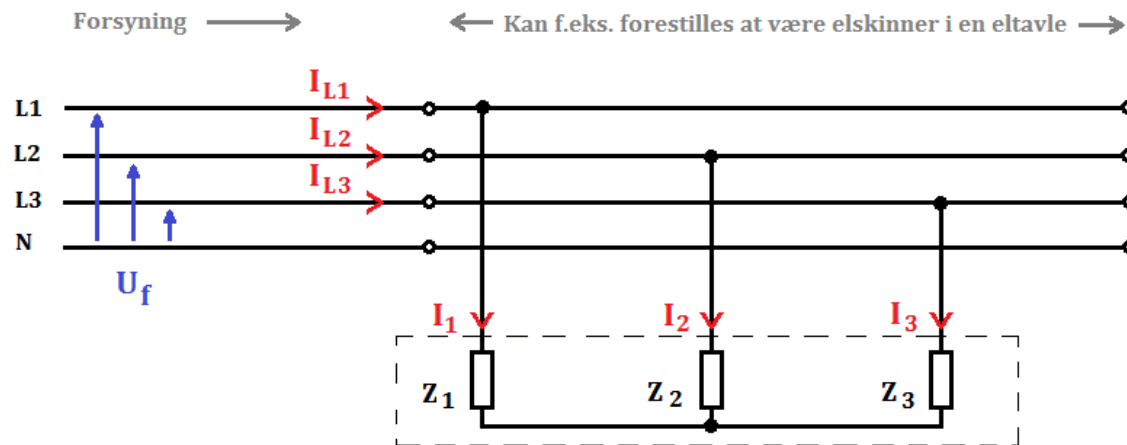


Den tilsyneladende effekt (S):

$$S = 3 \cdot U_f \cdot I_f \quad \Leftrightarrow \quad S = 3 \cdot \frac{U_n}{\sqrt{3}} \cdot I_n \quad \Leftrightarrow$$

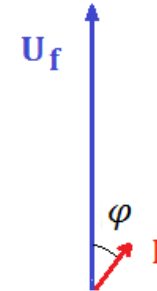
# AC 3 faset symmetrisk belastning

Et fuldstreges kredsskema over stjernekoblet symmetrisk belastning:



$$U_f = 231 \text{ V}$$
$$Z = 50 \Omega \angle 35^\circ$$
$$I = 4,62 \text{ A}$$

Vektordiagram:



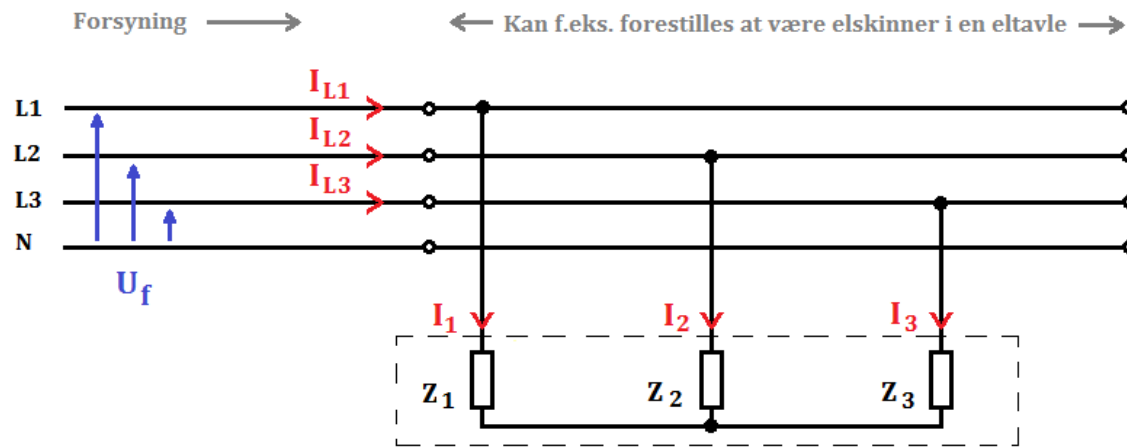
Den tilsyneladende effekt (S):

$$S = 3 \cdot U_f \cdot I_f \quad \Leftrightarrow \quad S = 3 \cdot \frac{U_n}{\sqrt{3}} \cdot I_n \quad \Leftrightarrow$$

$$S = \sqrt{3} \cdot U_n \cdot I_n \quad [\text{VA}]$$

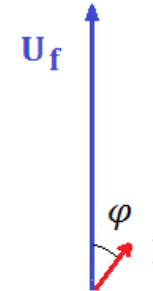
# AC 3 faset symmetrisk belastning

Et fuldstreges kredsskema over stjernekoblet symmetrisk belastning:



$$U_f = 231 \text{ V}$$
$$Z = 50 \Omega \angle 35^\circ$$
$$I = 4,62 \text{ A}$$

Vektordiagram:

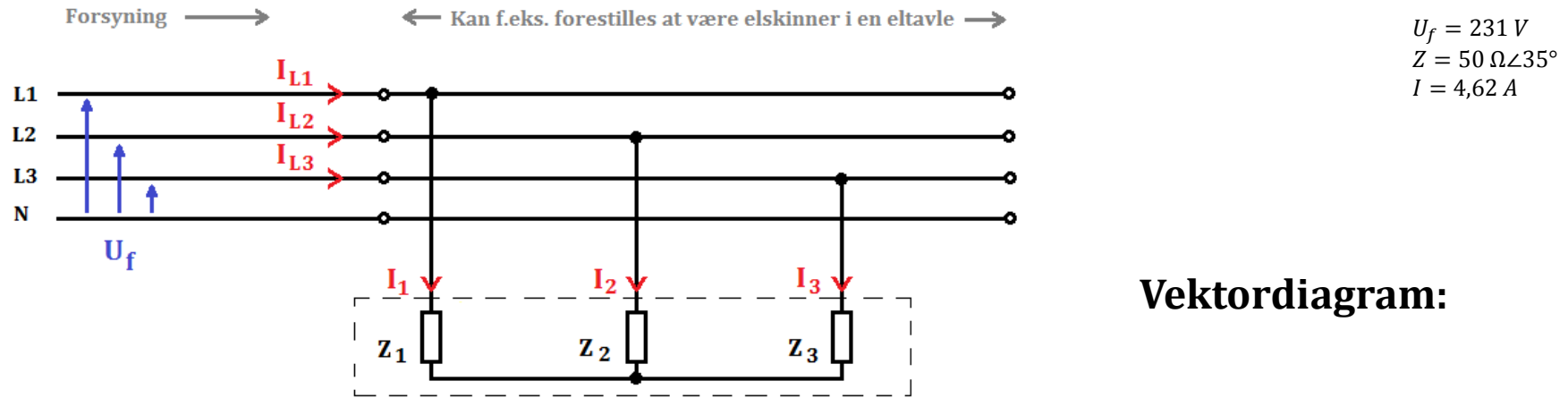


Virkeeffekten (P):

$$P = 3 \cdot U_f \cdot I_f \cdot \cos(\varphi) \Leftrightarrow$$

# AC 3 faset symmetrisk belastning

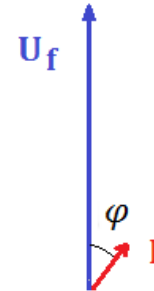
Et fuldstreges kredsskema over stjernekoblet symmetrisk belastning:



Vektor-diagram:

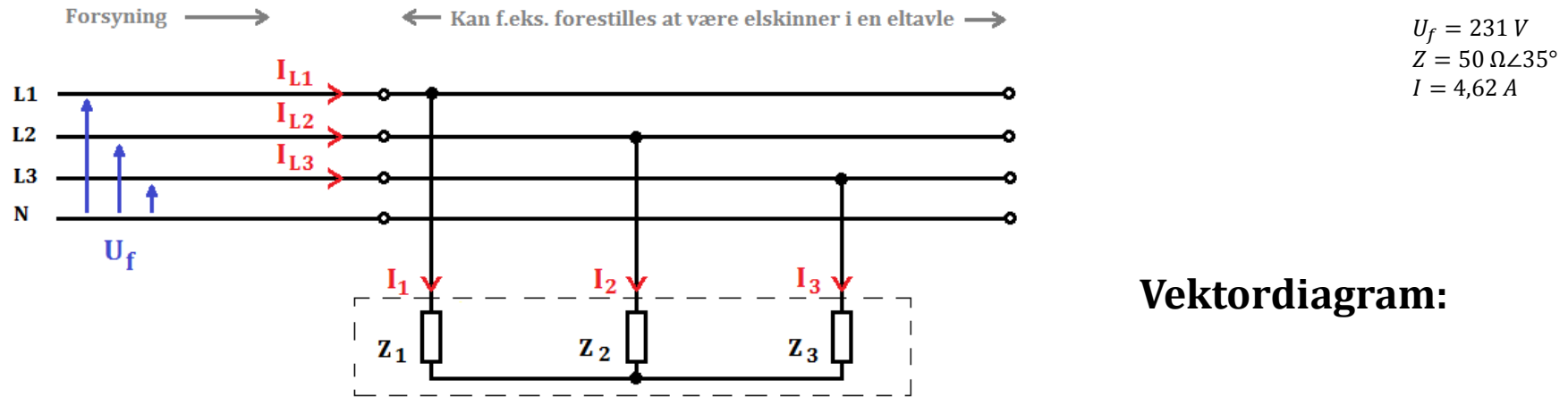
**Virkeeffekten (P):**

$$P = 3 \cdot U_f \cdot I_f \cdot \cos(\varphi) \Leftrightarrow P = 3 \cdot \frac{U_n}{\sqrt{3}} \cdot I_n \cdot \cos(\varphi) \Leftrightarrow$$



# AC 3 faset symmetrisk belastning

Et fuldstreges kredsskema over stjernekoblet symmetrisk belastning:

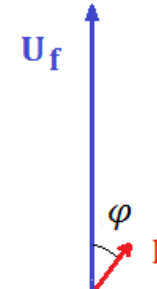


Vektor-diagram:

**Virkeeffekten (P):**

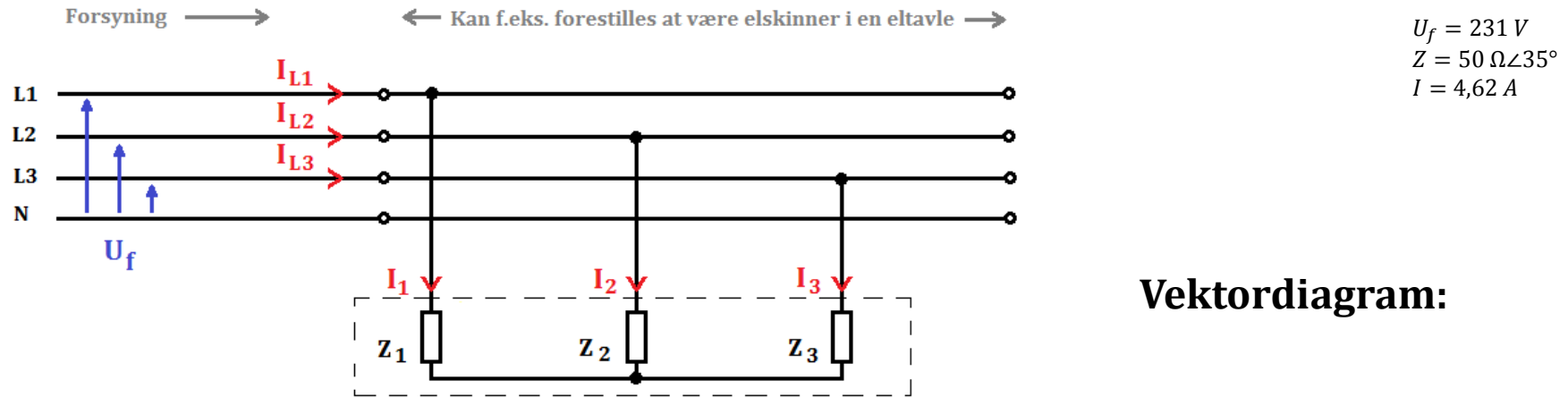
$$P = 3 \cdot U_f \cdot I_f \cdot \cos(\varphi) \Leftrightarrow P = 3 \cdot \frac{U_n}{\sqrt{3}} \cdot I_n \cdot \cos(\varphi) \Leftrightarrow$$

$$P = \sqrt{3} \cdot U_n \cdot I_n \cdot \cos(\varphi) [W]$$



# AC 3 faset symmetrisk belastning

Et fuldstreges kredsskema over stjernekoblet symmetrisk belastning:

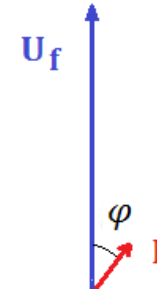


Vektor-diagram:

Den reaktive effekt (Q):

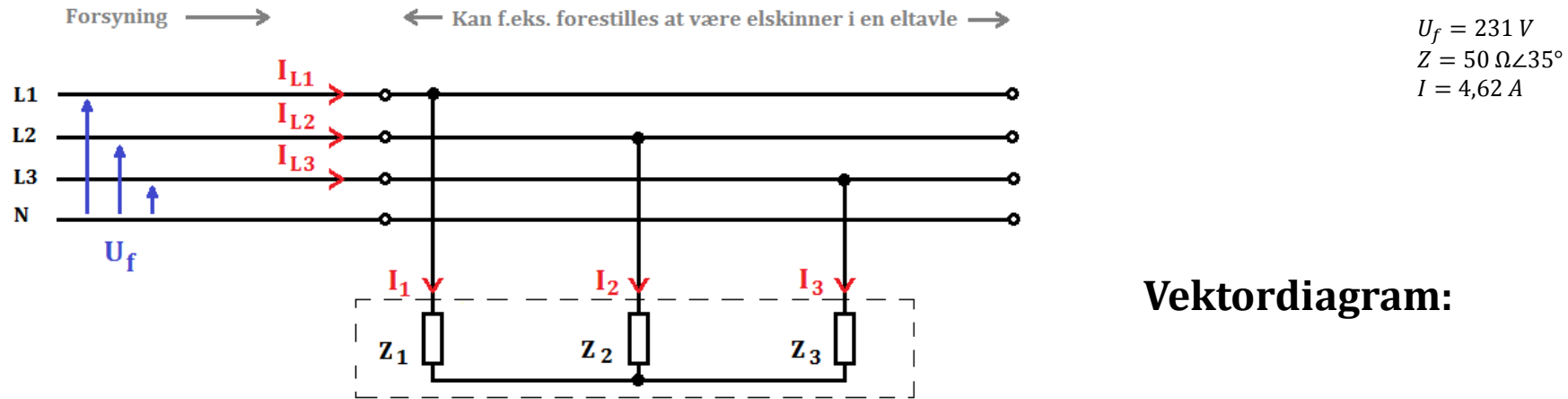
$$Q = 3 \cdot U_f \cdot I_f \cdot \sin(\varphi) \Leftrightarrow Q = 3 \cdot \frac{U_n}{\sqrt{3}} \cdot I_n \cdot \sin(\varphi) \Leftrightarrow$$

$$Q = \sqrt{3} \cdot U_n \cdot I_n \cdot \sin(\varphi) \quad [var]$$



# AC 3 faset symmetrisk belastning

Et fuldstreges kredsskema over stjernekoblet symmetrisk belastning:



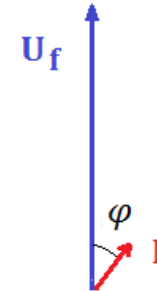
Vektordiagram:

Opsummerende beregnes de samlede effekter for  
3 fasede symmetriske belastninger (komponenter) som:

$$S = \sqrt{3} \cdot U_n \cdot I_n \quad [VA]$$

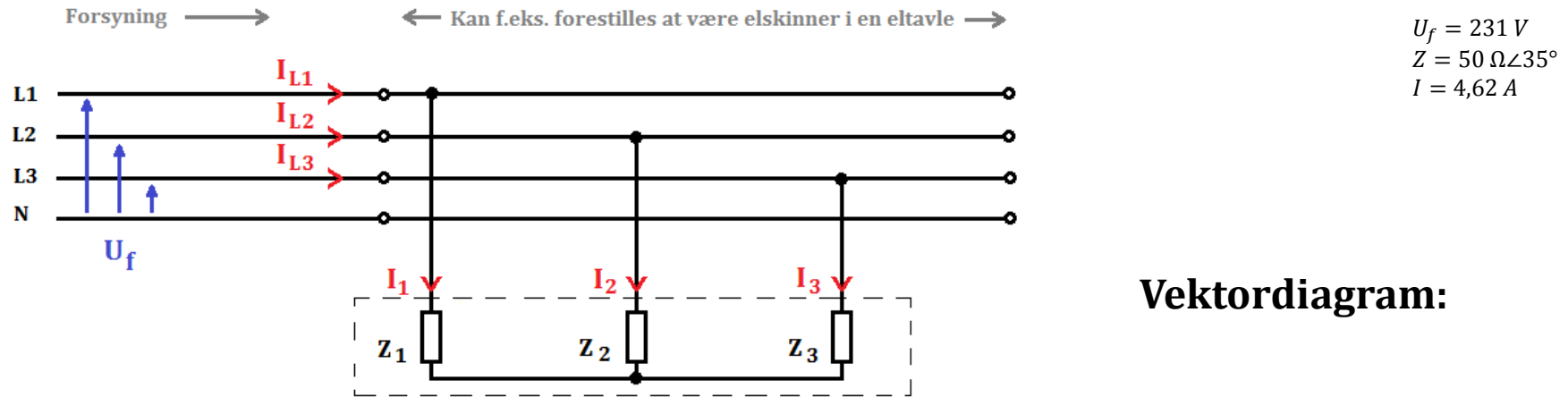
$$P = \sqrt{3} \cdot U_n \cdot I_n \cdot \cos(\varphi) \quad [W]$$

$$Q = \sqrt{3} \cdot U_n \cdot I_n \cdot \sin(\varphi) \quad [var]$$



# AC 3 faset symmetrisk belastning

Et fuldstreges kredsskema over stjernekoblet symmetrisk belastning:



Effekterne i aktuelle eksempel:

$$S = \sqrt{3} \cdot U_n \cdot I_n = \sqrt{3} \cdot (\sqrt{3} \cdot 231) \cdot 4,62 = 3200 \quad [VA]$$

$$P = \sqrt{3} \cdot U_n \cdot I_n \cdot \cos(\varphi) = \sqrt{3} \cdot (\sqrt{3} \cdot 231) \cdot 4,62 \cdot \cos(35) = 2620 \quad [W]$$

$$Q = \sqrt{3} \cdot U_n \cdot I_n \cdot \sin(\varphi) = \sqrt{3} \cdot (\sqrt{3} \cdot 231) \cdot 4,62 \cdot \sin(35) = 1840 \quad [var]$$